

Введение

Рассматривается стальной стержень прямоугольного поперечного сечения ($2a \times 2b$), где $a = 5$ мм, $b = 5$ мм (Рис.1). Необходимо решить задачу о кручении его вокруг оси OZ . Найти жесткость на кручение данного стержня и сравнить ее с жесткостью на кручение стержня круглого поперечного сечения, имеющего ту же площадь. Необходимо также найти касательные напряжения, построить поверхность деформации сечения. Рассмотреть аналитическое, приближенное и численное решения.

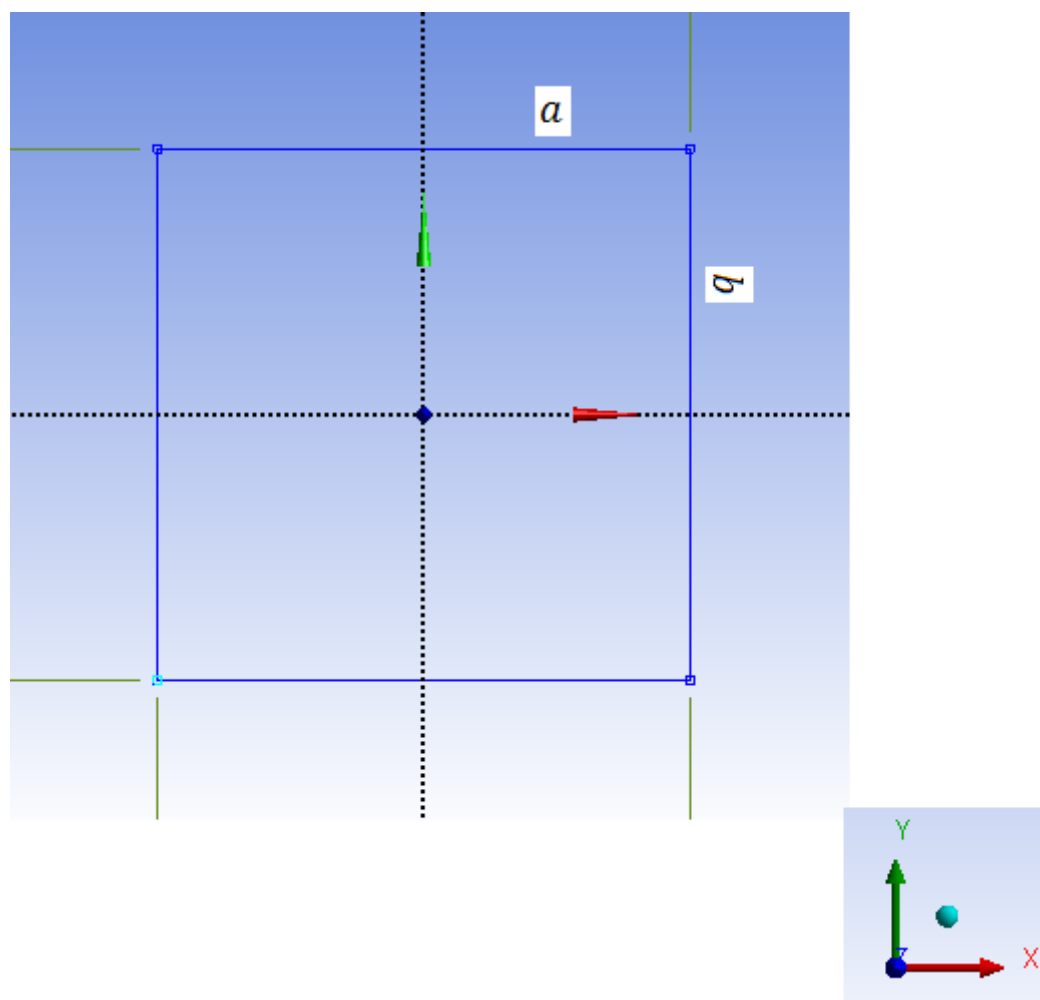


Рис. 1: Прямоугольное поперечное сечение рассматриваемого стержня.

1 Аналитическое решение

Рассматриваемая задача решена Сен-Венаном [1]. Найдены функция напряжений Φ , максимальные по модулю касательные напряжения $|\tau|_{max}$ и жесткость на кручение C .

$$\Phi(x, y) = b^2 - y^2 + \frac{32b^3}{\pi^3} \sum_{n=0}^{\infty} \frac{(-1)^{n+1}}{(2n+1)^3} \frac{\operatorname{ch} \frac{(2n+1)\pi x}{2b}}{\operatorname{ch} \frac{(2n+1)\pi a}{2b}} \cos \frac{(2n+1)\pi y}{2b} \quad (1)$$

В свою очередь, касательные напряжения в плоскостях OXZ , OYZ находятся по следующим соответствующим формулам:

$$\tau_{xz} = G\alpha \frac{\partial \Phi}{\partial y}; \quad \tau_{yz} = -G\alpha \frac{\partial \Phi}{\partial x}, \quad (2)$$

где G - модуль сдвига, α - угол закручивания стержня. При этом

$$\alpha = \frac{M}{G\theta_p}, \quad (3)$$

где M - момент кручения, θ_p - полярный момент прямоугольного поперечного сечения [2]. Для последнего:

$$\theta_p = \int_{-a}^a \int_{-b}^b x^2 + y^2 dx dy = \frac{4}{3} ab(a^2 + b^2). \quad (4)$$

По формулам (1),(2),(3),(4):

$$|\tau|_{max} = |\tau_{xz}|_{x=0, y=\pm b} = |\tau_{yz}|_{x=\pm a, y=0} = \frac{3M}{2a(a^2 + b^2)} \left(1 - \frac{8}{\pi^2} \sum_{n=0}^{\infty} \frac{1}{(2n+1)^2 \operatorname{ch} \frac{(2n+1)\pi a}{2b}} \right), \quad (5)$$

Жесткость на кручение:

$$C = \int_{-a}^a \int_{-b}^b \Phi(x, y) dx dy = \frac{16\pi ab^3}{3} \left(1 - \frac{192b}{a\pi^5} \sum_{n=0}^{\infty} \frac{\operatorname{th} \frac{(2n+1)\pi a}{2b}}{(2n+1)^5} \right). \quad (6)$$

К стержню приложен момент $M = 1$ Н·м. Тогда по формуле (5): $|\tau|_{max} = 4,05$ МПа.

По формуле (3): $\alpha = 7,6 \frac{\text{мрад}}{\text{м}}$.

По формуле (6): $C = 1,4 \cdot 10^{-9} \text{М}^4$.

Введем жесткость C_c на кручение стержня кругового сечения радиуса r , такой же площади, как прямоугольного сечения. В свою очередь, оно вычисляется по следующей формуле [1]:

$$C_c = \frac{\pi r^4}{2} \underbrace{r=2\sqrt{\frac{ab}{\pi}}}_{=} \frac{8a^2 b^2}{\pi}. \quad (7)$$

По формуле (7): $C_c = 1,59 \cdot 10^{-9} \text{М}^4$. Таким образом, показано: жесткость на кручение стержня прямоугольного сечения меньше жесткости на кручение стержня кругового сечения той же площади, что согласуется с теоретическими выкладками [1].

2 Приближенное решение

Решим эту же задачу методом вариационного исчисления. В качестве Φ возьмем следующую приближенную функцию:

$$\Phi = (x^2 - a^2)(y^2 - b^2)P_k(a_k, x, y), \quad (8)$$

где $P_k(a_k, x, y)$ -полиномы, $k = 0, 1, 2, \dots, N$. a_k - константы, которые находятся через принцип минимума дополнительной работы скручиваемого стержня, вычисляемую, в свою очередь, по следующей формуле:

$$\Pi = \frac{1}{2G} \int_{-a}^a \int_{-b}^b \left(\left(\frac{\partial \Phi}{\partial x} \right)^2 + \left(\frac{\partial \Phi}{\partial y} \right)^2 - 4\Phi \right) dx dy. \quad (9)$$

Из принципа минимума дополнительной работы находятся константы a_k следующим образом:

$$\begin{cases} \frac{\partial \Pi}{\partial a_0} = 0 \\ \dots\dots\dots \\ \frac{\partial \Pi}{\partial a_k} = 0. \end{cases} \quad (10)$$

При кручении стержня прямоугольного сечения оно не остается плоским - оно деформируется. Осевое перемещение ω при деформации можно найти из следующей системы дифференциальных уравнений:

$$\begin{cases} \frac{\partial \omega}{\partial x} = \alpha \left(\frac{\partial \Phi}{\partial y} + y \right) \\ \frac{\partial \omega}{\partial y} = -\alpha \left(\frac{\partial \Phi}{\partial x} + x \right). \end{cases} \quad (11)$$

Напишем приближенное решение рассматриваемой задачи при 3 константах, т.е $\Phi = (x^2 - a^2)(y^2 - b^2)(a_0 + a_1x^2 + a_2y^2)$. Тогда из принципа минимума дополнительной работы (10):

$$a_0 = \frac{35(9a^4 + 130a^2b^2 + 9b^4)}{8(45a^6 + 509a^4b^2 + 509a^2b^4 + 45b^6)};$$

$$a_1 = \frac{105(9a^2 + b^2)}{8(45a^6 + 509a^4b^2 + 509a^2b^4 + 45b^6)};$$

$$a_2 = \frac{105(9b^2 + a^2)}{8(45a^6 + 509a^4b^2 + 509a^2b^4 + 45b^6)}.$$

Таким образом, по формуле (2) для касательных напряжений:

$$\tau_{xz} = \frac{105M(a^2 - x^2)y(9a^4 + a^2(127b^2 + 27x^2 + 6y^2) + 3b^2(-6b^2 + x^2 + 18y^2))}{16(a^2 + b^2)^2(45a^5b + 464a^3b^3 + 45ab^5)};$$

$$\tau_{yz} = \frac{105Mx(y^2 - b^2)(-18a^4 + a^2(127b^2 + 54x^2 + 3y^2) + 3b^2(3b^2 + 2x^2 + 9y^2))}{16(a^2 + b^2)^2(45a^5b + 464a^3b^3 + 45ab^5)}.$$

Из формулы (11): $|\tau|_{max} = |\tau_{xz}|_{x=0, y=\pm 0,005} = |\tau_{yz}|_{x=\pm 0,005, y=0} = 4,21$ МПа. Найдем жесткость на кручение C :

$$C = 2 \int_{-a}^a \int_{-b}^b \Phi(x, y) dx dy = \frac{224b^3(9a^2 + b^2)(a^5 + 9a^3b^2)}{9(45a^6 + 509a^4b^2 + 509a^2b^4 + 45b^6)} = 1,41 \cdot 10^{-9} \text{М}^4 \quad (13)$$

Из системы (11) найдем депланацию сечения ω :

$$\omega = -\alpha \int_0^y \left(\frac{\partial \Phi}{\partial x} + x \right) dy. \quad (14)$$

Построены зависимости касательных напряжений τ_{xz} , τ_{yz} от координат сечения (Рис.2–3 соответственно), сходимости максимального по модулю касательного напряжения (Рис.4

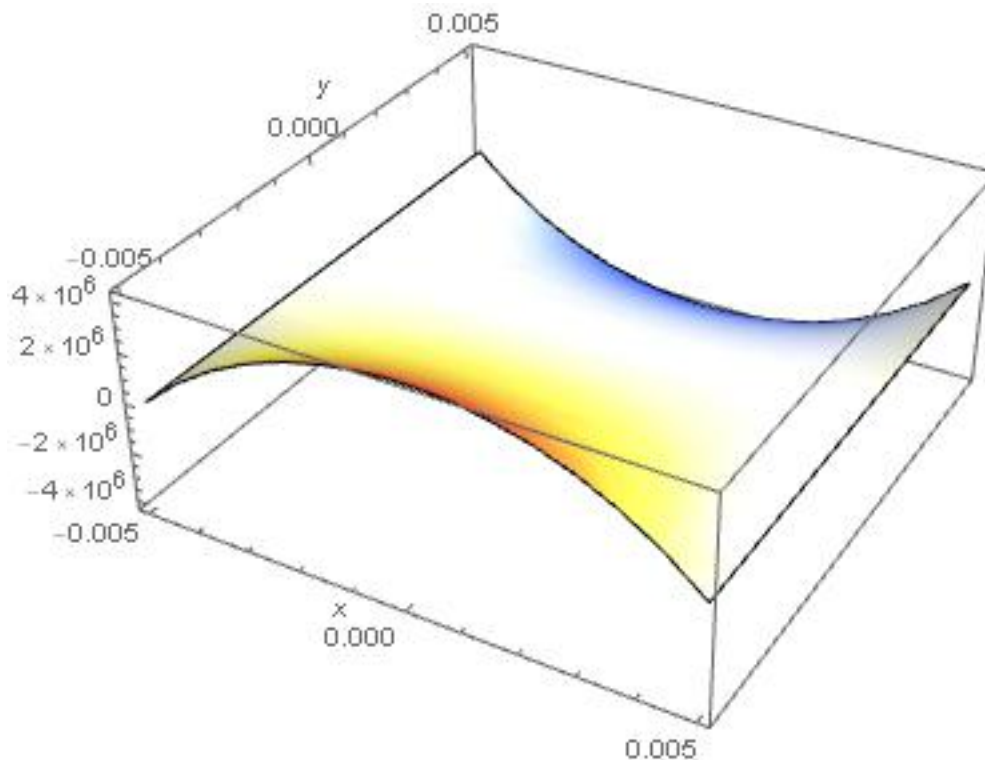


Рис. 2: Поверхность касательного напряжения τ_{xz} (Па). Где область темнее, там по модулю величина его больше.

(а)) и жесткости на кручение (Рис.4 (б)) от числа N констант в полиноме функции напряжений.

Также построена поверхность депланации сечения ω (Рис.5).

Из графика : $\omega_{max} = 20,5$ нм.

3 Реализация в ANSYS

Рассмотрим модель данного стержня в конечно-элементном пакете ANSYS. Сделано закрепление нижнего сечения стержня, а к верхнему приложен момент 1 Н·м (Рис.6). Взят модуль сдвига $G = 76,9$ ГПа. Найдены касательные напряжения τ_{xz} , τ_{yz} в стержне (Рис.7–8 соответственно). Получено значение: $|\tau|_{max} = 4,0696$ МПа. Вычислим погрешность найденного решения:

$$\Delta|\tau| = \frac{||\tau|_{max,true} - |\tau|_{max,numerical}|}{|\tau|_{max,true}} 100\% = 0,5\%.$$

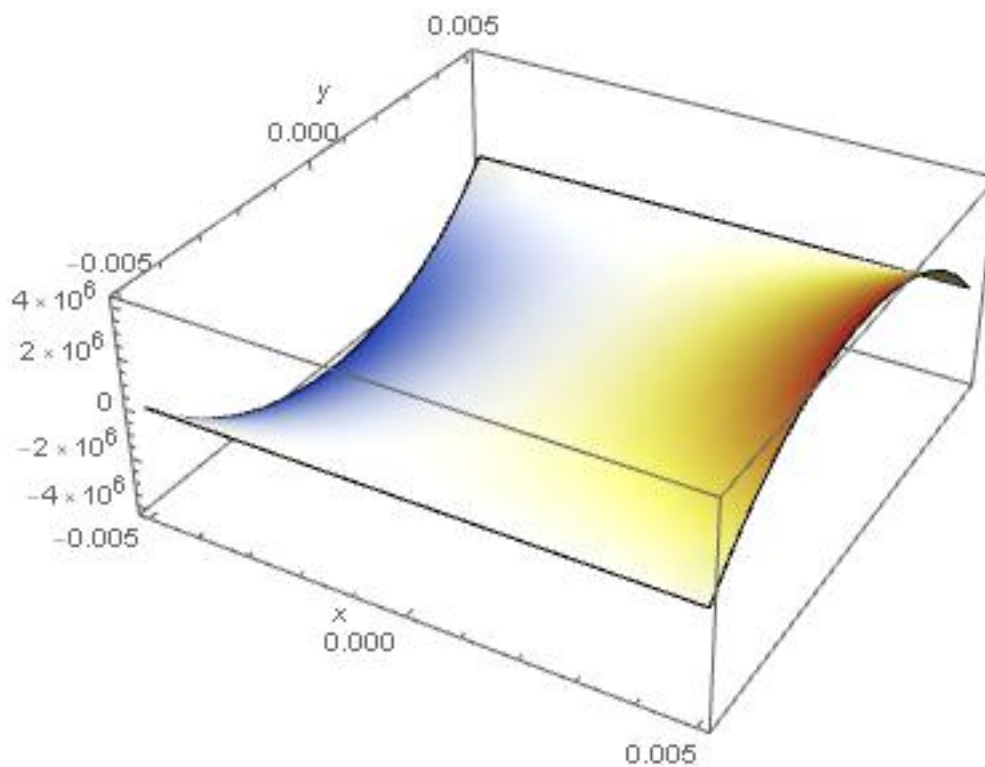


Рис. 3: Поверхность касательного напряжения τ_{yz} (Па). Где область темнее, там по модулю величина его больше.

Также вычислена депланация сечения в рассматриваемом стержне (Рис.9). Сравнив рисунки 5 и 9, можно прийти к выводу, что направления перемещений рассматриваемого сечения при его депланации найдены верно. Однако величина депланации, найденной численно, оказалась заведомо больше той, которая найдена аналитически.

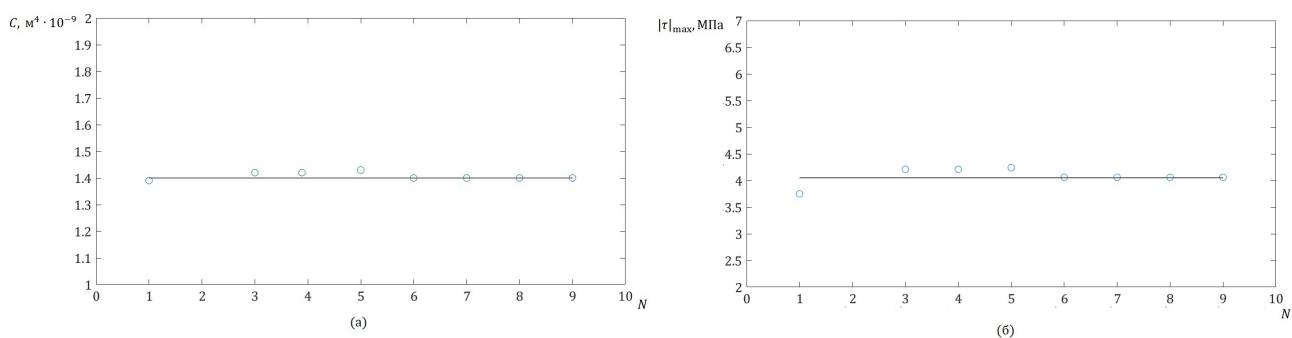


Рис. 4: (а) Сходимость максимального по модулю касательного напряжения от числа констант. Линия – аналитическое решение (5). (б) Сходимость жесткости на кручение от числа констант. Линия – аналитическое решение (6).

Заключение

В данной работе было исследовано кручение стержня прямоугольного поперечного сечения. Было показано, что данную задачу можно решить методом упрощенного приближенного решения: вариационного исчисления и получить решение, фактически совпадающее с решением Сен-Венана. Жесткость на кручение стержня прямоугольного поперечного сечения меньше жесткости на кручение кругового поперечного сечения. Также данная задача решена численно в конечно-элементном пакете ANSYS. Максимальное по модулю касательное напряжение, вычисленное численно, вышло с погрешностью 0,5%. Это свидетельствует о том, что данная модель получилась довольно точной.

Список литературы

1. А.И.Лурье. Теория упругости. Москва: Издательство «Наука», главная редакция физико-математической литературы. 1970. 940 с.
2. В.И.Феодосьев. Сопротивление материалов. Москва: Из-во МГТУ им. Н.Э. Баумана 1999. 592 с.

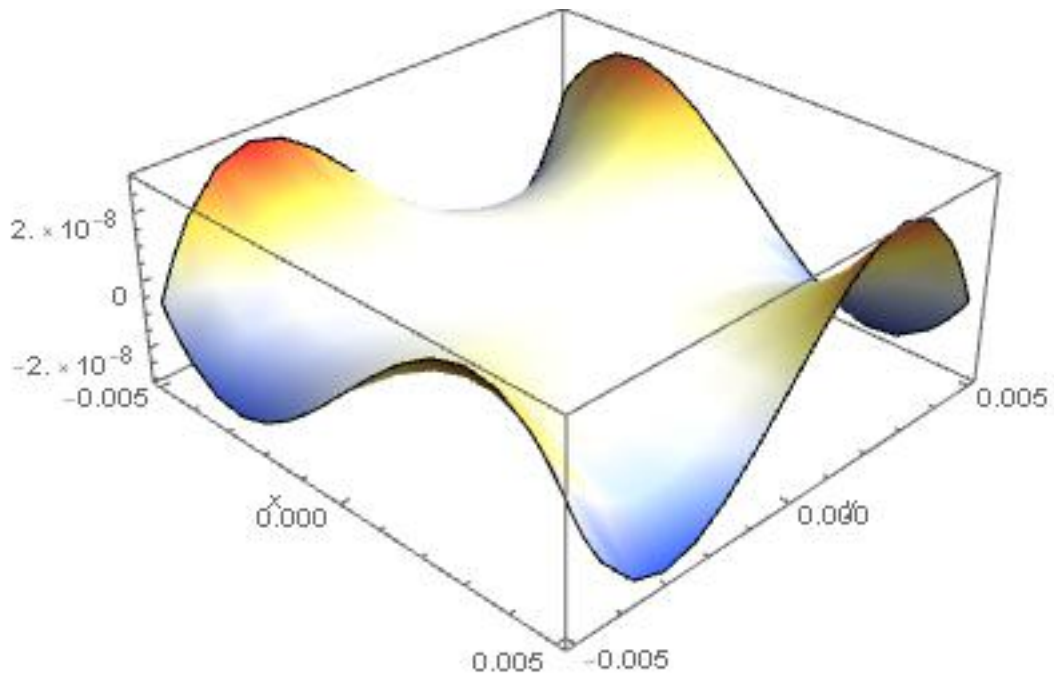


Рис. 5: Поверхность ω (мм) деформации сечения. Где темнее, Там деформация по модулю больше.

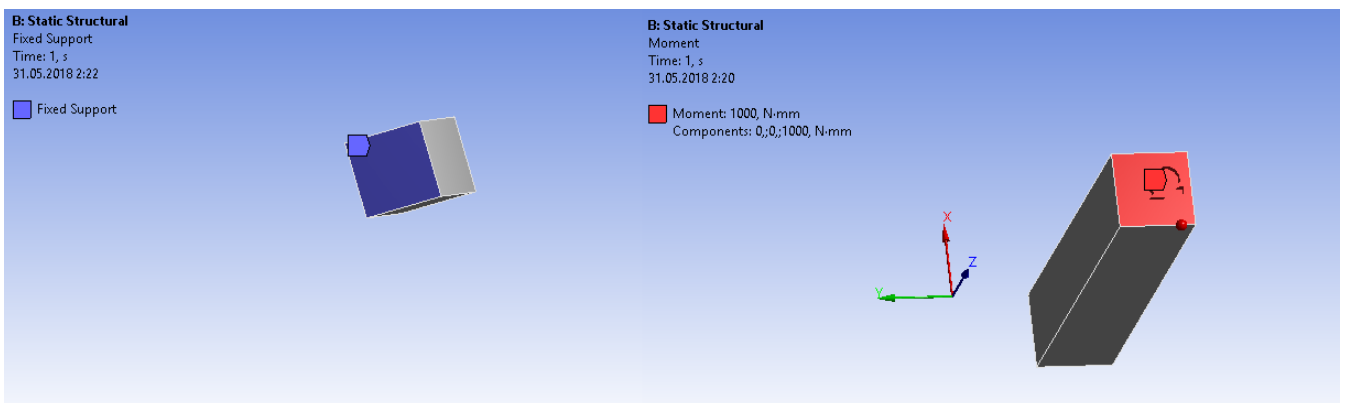


Рис. 6: Постановка рассматриваемой задачи в ANSYS.

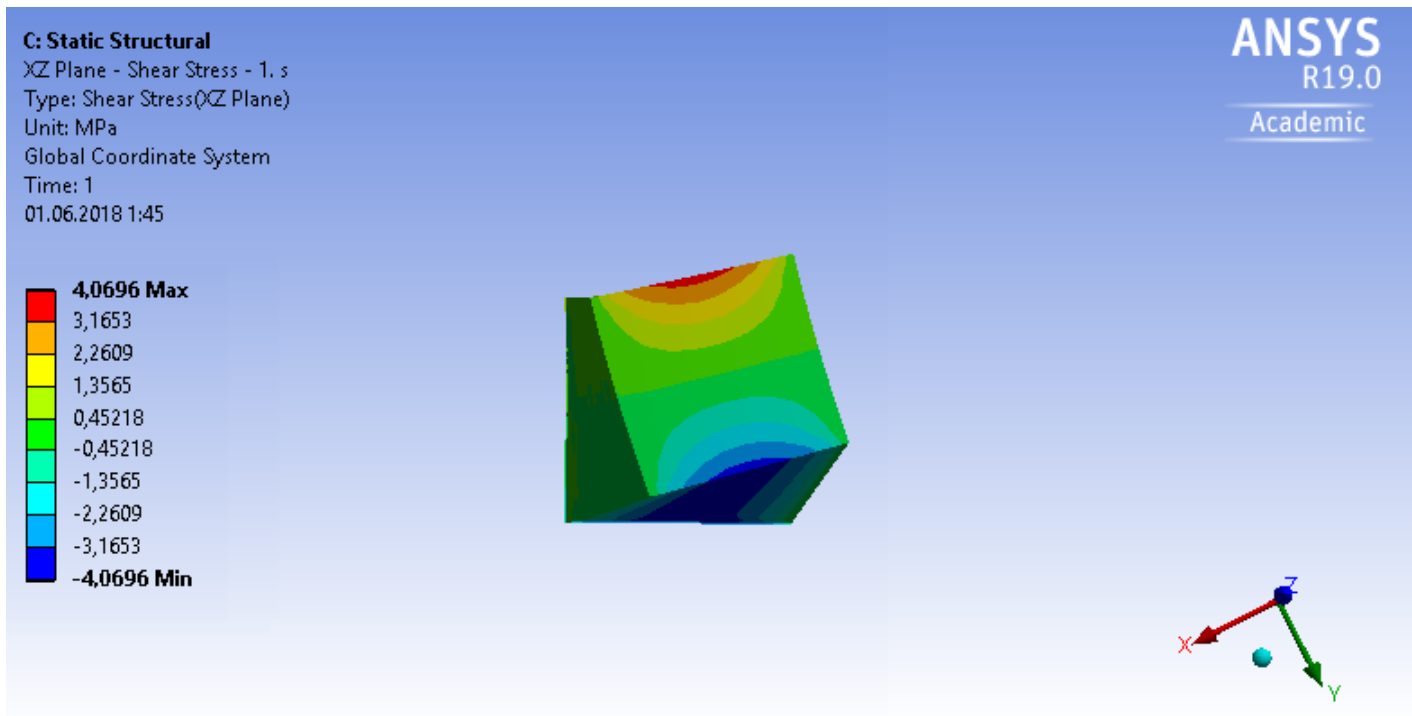


Рис. 7: Распределение τ_{xz} в модели стержня.

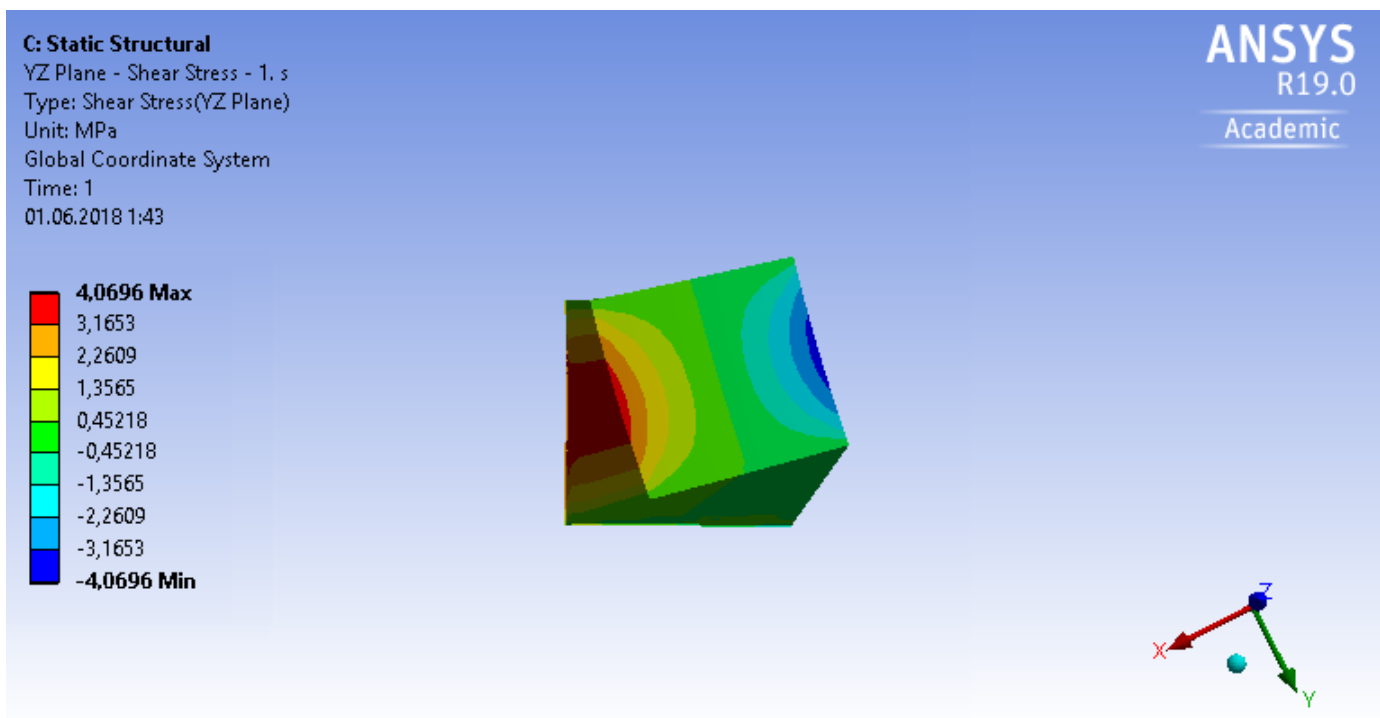


Рис. 8: Распределение τ_{yz} в модели стержня.

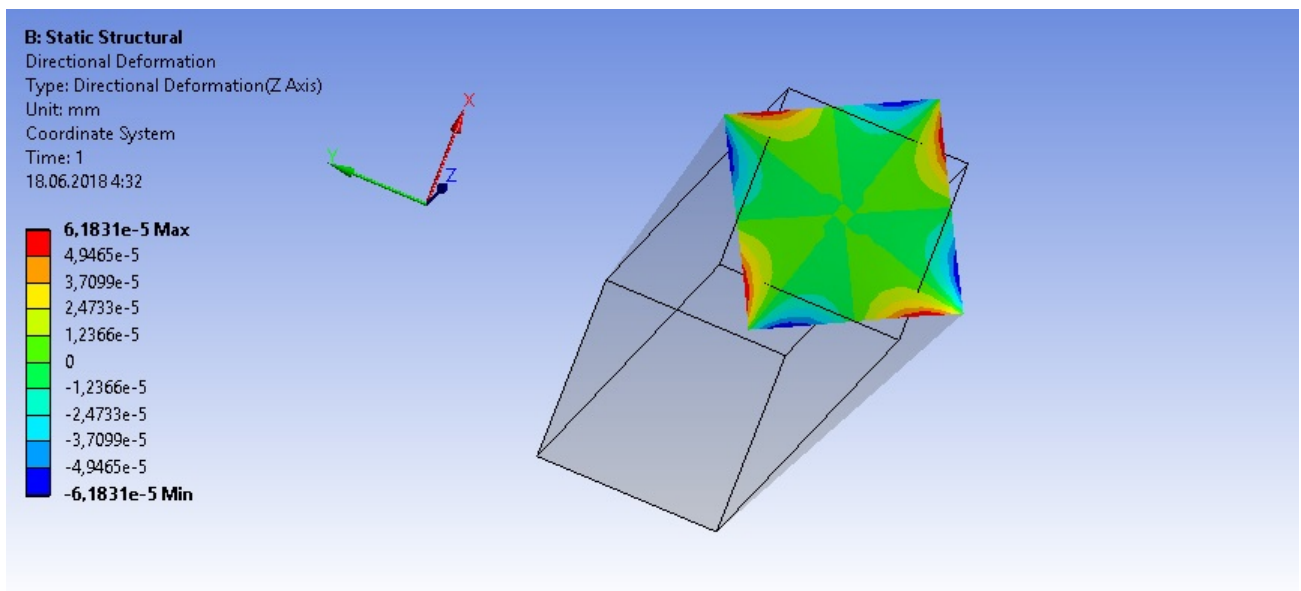


Рис. 9: Деформация сечения в модели рассматриваемого стержня.